

# (39) 偏心により振れる建物の耐震設計法に関する研究

(その2 弾性多層建物の設計法について)

尾崎昌凡\*, 曾田五月也\*\*

安田征一郎\*\*\*, 石井勝\*\*\*, 渡川智明\*\*\*

## 1. 序

同名論文(その1)では弾性1層建物の振れに参与する多くのパラメーターを変動させて計算を行った結果, その性状は非常に複雑であるものの, 動的応答により生じる応力を安全に評価する静的な力の大きさと作用点とを定める事により静的耐震設計法を構成する事も可能な事を示した<sup>1)</sup>。本論では更に多層建物の場合に於いて検討を加える。多層建物に連層壁が存在する場合は振動が曲が成分を含むようになり, 偏心の定義を1層の建物に対する定義の拡張として考え増した場合も生じるのであるが, この点の検討は取り敢えず除外し, 二二は純粋にせん断型の変形を有する直列質点系モデルによる解析を行う事とする。多層建物の振れ振動に対しては, 各層平面内の剛性・質量の分布の他に建物の高さ方向のこれらの分布も影響して, その性状は非常に複雑になると予想されるが, 尤も1層建物に対して呈示した静的耐震設計法の考え方を多層建物に対しても拡張する事を目的として, 偏心層と無偏心層とが存在する場合の両者の相互作用の影響について考察する。1層建物の場合と同様に, 外乱および構造物の諸特性は全く無次元量で表し, 定常な不規則外乱に対する定常応答を理論的に求める事により応答の評価をした。

## 2. 解析方法

### 2.1 解析上の仮定

- 1) 各層の床を剛床とした直列せん断型質点系モデル(Fig.1)を用いる。
- 2) 質量は床面にのみ均等に分布するとし, 各床面では質量中心(重心)と平面中心とは一致する。
- 3) RC規準等<sup>2),3)</sup>では偏心距離を用いて軸中心(せん断力中心)との距離として定義してゐるが, 二二では各床面毎にこの重心と軸中心との差として定義する。
- 4) 応答計算はモード間の連成を考慮したモード解析によるが, 二二の際に減衰定数は各モードに対して一律とする。

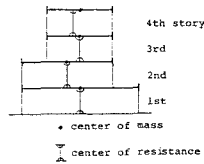


Fig.1 解析モデル(全体)

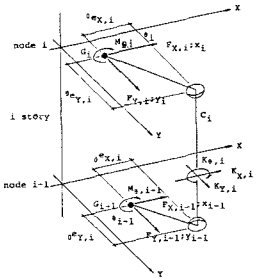


Fig.2 解析モデル(部分)

Tab. 1 GLOSSARY OF TERMS

$G_i$	Center of mass of the $i$ -th slab
$C_i$	Center of rigidity of the $i$ -th story
$K_{X,i}$	Rigidity in the X-direction of the $i$ -th story
$K_{Y,i}$	Rigidity in the Y-direction of the $i$ -th story
$K_{\theta,i}$	Torsional rigidity of the $i$ -th story
$M_i$	Mass of the $i$ -th slab
$I_i$	Inertia moment of the $i$ -th slab
$F_{X,i}, F_{Y,i}, M_{\theta,i}$	Nodal force or moment with respect to center of mass of the $i$ -th slab
$l_x, l_y$	Structural dimension in the X or Y direction
$e_{x,i}$	Upper eccentricity of $i$ -th story
$e_{y,i}$	Lower eccentricity of $i$ -th story
$x_i, y_i, \theta_i$	Displacement or rotation with respect to center of mass of $i$ -th story
$i_1 = \sqrt{I_i/M_i}, j_1 = \sqrt{K_{\theta,i}/K_{X,i}}$	
$k_{X,i} = K_{X,i}/K_{X,1}, k_{Y,i} = K_{Y,i}/K_{Y,1}, a_i = K_{Y,i}/K_{X,i}$	
$\gamma_i = l_y/i/l_x,i, j_i = j_1/i_1, e_{x,i} = e_{x,i}/i_1$	
$e_{x,i} = e_{x,i}/i_1, m_i = M_i/M_1, i_i = i_1/i_1$	

$$\begin{Bmatrix} F_{x,i} \\ F_{y,i} \\ M_{\theta,i} \\ F_{x,i-1} \\ F_{y,i-1} \\ M_{\theta,i-1} \end{Bmatrix} = \begin{bmatrix} K_{x,i} & 0 & -K_{x,i}e_{x,i} & & & \\ & K_{y,i} & -K_{y,i}e_{y,i} & & & \\ & & & 0 & -K_{r,i} & -K_{r,i}e_{x,i} \\ & & & & & -K_{r,i}e_{y,i} \\ & & K_{\theta,i} & & & \\ & & & K_{x,i} & 0 & -K_{x,i}e_{x,i} \\ & & & & & K_{y,i} \\ & & & & & & K_{r,i} \\ & & & & & & & K_{\theta,i} & & \\ & & & & & & & & K_{x,i} & -K_{x,i}e_{x,i} \\ & & & & & & & & & K_{y,i} & -K_{y,i}e_{y,i} \end{bmatrix} \begin{Bmatrix} x_i \\ y_i \\ \theta_i \\ x_{i-1} \\ y_{i-1} \\ \theta_{i-1} \end{Bmatrix} \quad (1)$$

\* 千葉大学教授(工博), \*\* 同助手(工博), \*\*\* 同大学院生

$$\begin{Bmatrix} F_{x,i} \\ K_{i,i} \\ F_{y,i} \\ K_{i,i} \\ M_{o,i} \\ K_{i,i}^2 \\ F_{x,i} \\ K_{i,i} \\ F_{y,i} \\ K_{i,i} \\ M_{o,i} \\ K_{i,i}^2 \end{Bmatrix} = \begin{bmatrix} R_{x,i} & 0 & -R_{x,i} \cdot e^{c_{y,i}} \cdot \bar{l}_i & & -R_{x,i} & 0 & R_{x,i} \cdot e^{c_{y,i}} \cdot \bar{l}_i & & & & & & \\ & R_{y,i} & R_{y,i} \cdot e^{c_{x,i}} \cdot \bar{l}_i & & 0 & -R_{y,i} & -R_{y,i} \cdot e^{c_{x,i}} \cdot \bar{l}_i & & & & & & \\ & & (R_{x,i} \cdot l_i^2 + R_{x,i} \cdot e^{c_{y,i}^2} + R_{y,i} \cdot e^{c_{x,i}^2}) \bar{l}_i^2 & & R_{x,i} \cdot e^{c_{y,i}} \cdot \bar{l}_i & -R_{y,i} \cdot e^{c_{x,i}} \cdot \bar{l}_i & -R_{x,i} \cdot l_i^2 - (R_{x,i} \cdot e^{c_{y,i}} \cdot e^{c_{y,i}} + R_{y,i} \cdot e^{c_{x,i}} \cdot e^{c_{x,i}}) \bar{l}_i \cdot \bar{l}_i & & & & & \\ & & & & R_{x,i} & 0 & -R_{x,i} \cdot e^{c_{y,i}} \cdot \bar{l}_i & & & & & \\ & & & & & R_{y,i} & R_{y,i} \cdot e^{c_{x,i}} \cdot \bar{l}_i & & & & & \\ & & & & & & R_{x,i} \cdot l_i^2 + (R_{y,i} \cdot e^{c_{x,i}^2} + R_{x,i} \cdot e^{c_{y,i}^2}) \bar{l}_i^2 & & & & & \end{bmatrix} \begin{Bmatrix} x_i/l_i \\ y_i/l_i \\ \theta_i \\ x_{i+1}/l_i \\ y_{i+1}/l_i \\ \theta_{i+1} \end{Bmatrix} \quad (1')$$

SYM.

## 2.2 層剛性マトリックスの構成および振動方程式の無次元化

Fig. 1 のように多層偏心建築物のモデルの節点番号, 層番号を下層より順に 1 から n とする。同図は 1 軸偏心とした場合であり, Fig. 2 は一般に 2 軸偏心とした時の i 層の力と変形との関係を表したものである。Fig. 2 の関係は (1) 式の通りを表式化すれば, 単に Tab. 1 の諸関係を適用して解次元化すれば (3) 式が得られる。

構造物全体の剛性マトリックスは (1) 式を各節点(重心)毎に累加して得られ, 更に  $M_i, I_i$  および  $\tau = \omega_i t = \sqrt{K_{x,i}/M_i} t$  を用いて全体の振動方程式を無次元化する。この時, 全体質量マトリックスは i 層梁の保進成分に対応しては  $m_i = M_i/M_1$ , 回転成分に対応しては  $I_i = I_i/I_1$  となる。以後は表現の便宜上,  $x_i/l_i, y_i/l_i$  を単に  $x_i, y_i$  と記し,  $\tau$  による微分を  $\dot{x}_i, \dot{y}_i$  と記すことにする。

## 2.3 不規則振動理論を適用するモード解析の概要

1 層の場合に準じて行う事が出来る。(2) 式の振動方程式の解は j 次の固有ベクトル  $\{\Phi\}_j$  と (3) 式の解である標準振動関数  $\beta_j$  とにより (4) 式で表される。(3) 式中の  $\beta_j$  は制振係数で, 外乱の入力方向が X, Y の各その場合に (5) 式で計算される。(4) 式を用いて各層の絶対変位の 2 乗平均が (6) 式となる。同式中の  $[Q]$  の要素  $\langle \beta_j \beta_n \rangle$  は  $\beta_j \beta_n$  の集合平均であり同要素は (7) 式で計算される。(7) 式中の関数  $S(\omega)$  は外乱のスペクトル密度関数で (8) 式となる。振動系が線形減衰を小さくする事より,  $\omega_j, \omega_n$  を j 次, n 次の固有円振動数として  $S(\omega_{jn}) \approx S\{(\omega_j + \omega_n)/2\}$  と近似する事にした。

$$[\bar{M}]\{\ddot{\phi}\} + [\bar{C}]\{\dot{\phi}\} + [\bar{K}]\{\phi\} = -[\bar{M}]\{F\} \ddot{z} \quad (2)$$

where,

$[\bar{K}]$  : Total stiffness matrix

$[\bar{C}]$  : Total damping matrix

$[\bar{M}]$  : Total mass matrix

$\{F\}$  : Input distribution vector

$\{\phi\}$  : Displacement vector

$\ddot{z}$  : Input acceleration

$$\ddot{\beta}_j + 2R_j \omega_j \dot{\beta}_j + \omega_j^2 \beta_j = -\beta_n \ddot{z} \quad (3)$$

$$\{\phi\}_j = \sum_{n=1}^{2n} \beta_n \{\Phi\}_n \quad (4)$$

$$\beta_{jx} = \frac{\{\Phi\}_j^T [\bar{M}] \{F_x\}}{\{\Phi\}_j^T [\bar{M}] \{\Phi\}_j} \quad \beta_{jy} = \frac{\{\Phi\}_j^T [\bar{M}] \{F_y\}}{\{\Phi\}_j^T [\bar{M}] \{\Phi\}_j} \quad (5)$$

where,

$$\{F_x\} = \{100100 \dots\}^T, \quad \{F_y\} = \{010010 \dots\}^T$$

$$\langle \{\phi\} \{\phi\}^T \rangle = [\{\Phi\}_1, \{\Phi\}_2, \dots] [Q] [\{\Phi\}_1, \{\Phi\}_2, \dots]^T \quad (6)$$

where,

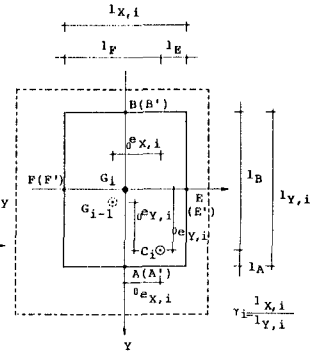
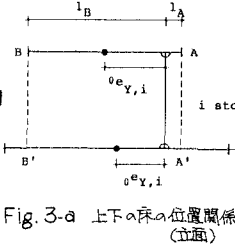
$$[Q] = \begin{bmatrix} \langle \beta_1 \beta_1 \rangle & \langle \beta_1 \beta_2 \rangle & & \langle \beta_1 \beta_n \rangle \\ \langle \beta_2 \beta_1 \rangle & \langle \beta_2 \beta_2 \rangle & & \\ & & \ddots & \\ \langle \beta_n \beta_1 \rangle & & & \langle \beta_n \beta_n \rangle \end{bmatrix}$$

$$\langle \beta_j \beta_n \rangle = \frac{\beta_j \beta_n (R_j \omega_j + R_n \omega_n)}{(\omega_j^2 - \omega_n^2) - 4\omega_j \omega_n (R_j \omega_j + R_n \omega_n)} S(\omega_{jn}) \quad (7)$$

$$S(\omega) = \frac{1 + 4R_j^2 (\frac{\omega}{\omega_j})^2}{\{1 - (\frac{\omega}{\omega_j})^2\}^2 + 4R_j^2 (\frac{\omega}{\omega_j})^2} S_0 \quad (8)$$

### 3. 動的付加偏心量の計算法

1層の建物に対する耐震計算法の方針と同様に、多層建物の場合にも設計用せん断力の大きさを2は無偏心建物に対するものを用いる事にする。各床の座標軸上外端の点の最大変位と剛心の最大変位との差により振れが大きさを定義する事とし、剛性の高い側で最大変形をまいる場合と剛性の低い側で最大変形をまいる場合との2通りについて考える。



上下の床の平面形が重なり(但し、上の平面形 \$\le\$ 下の平面形)、重心位置も同一鉛直線上にあるような一般的多層建物を想定する。Fig. 3-a 及び Fig. 3-b は各々 \$i\$ 番目、\$i-1\$ 番目の床の立面的・平面的な位置関係を表す。左図に \$i\$ 層の剛心より \$i\$ 番目の床の外端迄の距離 \$l\_A, l\_B, l\_E, l\_F\$ は(9)の諸式の通りとなる。\$X\$ 方向からの入力に關して、\$A\$ 点、\$B\$ 点の \$X\$ 方向変位 \$x\_A, x\_B\$ は重心の変位 \$x\_i\$ と回転角 \$\theta\_i\$、更に \$l\_A, l\_B\$ を用いて(10)式に於ける。また、\$i-1\$ 番目の床への \$A\$ 点、\$B\$ 点の投影点 \$A'\$ 点、\$B'\$ 点の変位は、上下の床の重心位置のずれも考慮して(11)式に於ける。更に剛心の層間変位は(12)式で示し、これを(13)式より先の定義に従って付加偏心量を定めよう事が出来る。但し、\$= \pm\$ は、2種の付加偏心を剛性の高い側・低い側とよ、\$= \pm\$ はなく、座標系のプラス側・マイナス側とよ、\$= \pm\$ 区別する。即ち、\$i\$ 層の \$Y\$ 座標がマイナス側の變形に關する付加偏心比を \$e'\_{y,i}\$、プラス側の變形に關する付加偏心比を \$e''\_{y,i}\$ とすれば各々(13)、(14)式となる。\$Y\$ 方向からの入力に対しても同様にして、\$e'\_{x,i}, e''\_{x,i-1}, l\_E, l\_F\$ を用いて \$e'\_{x,i}, e''\_{x,i}\$ を求めよう事が出来る。

$$l_A = \tilde{l}_i \left( \sqrt{\frac{3}{1+r_i^2}} - e'_{y,i} \right) \quad l_B = \tilde{l}_i \left( \sqrt{\frac{3}{1+r_i^2}} + e'_{y,i} \right)$$

$$l_E = \tilde{l}_i \left( r_i \sqrt{\frac{3}{1+r_i^2}} - e'_{y,i} \right) \quad l_F = \tilde{l}_i \left( \sqrt{\frac{3}{1+r_i^2}} + e'_{y,i} \right) \quad (9)$$

$$x_A = x_i - \tilde{l}_i \sqrt{\frac{3}{1+r_i^2}} \theta_i \quad x_B = x_i + \tilde{l}_i \sqrt{\frac{3}{1+r_i^2}} \theta_i \quad (10)$$

$$x_{A'} = x_{c,i-1} - l_A \theta_{i-1} = x_{i-1} - e'_{y,i} \tilde{l}_{i-1} \theta_{i-1} - \tilde{l}_i \left( \sqrt{\frac{3}{1+r_i^2}} + e'_{y,i} \right) \theta_{i-1}$$

$$x_{B'} = x_{c,i-1} + l_B \theta_{i-1} = x_{i-1} + e'_{y,i} \tilde{l}_{i-1} \theta_{i-1} + \tilde{l}_i \left( \sqrt{\frac{3}{1+r_i^2}} - e'_{y,i} \right) \theta_{i-1} \quad (11)$$

$$x_{c,i} - x_{c,i-1} = (x_i - x_{i-1}) - \frac{(e'_{y,i} \tilde{l}_i \theta_i + e'_{y,i} \tilde{l}_{i-1} \theta_{i-1})}{\quad} \quad (12)$$

$$e'_{y,i} = \delta_i^2 \frac{1}{\frac{e'_{y,i}}{2} + e'_{y,i}} (\alpha_1 - 1) - e'_{y,i} \quad (13)$$

$$e''_{y,i} = \delta_i^2 \frac{1}{\frac{e''_{y,i}}{2} - e'_{y,i}} (\alpha_2 - 1) + e'_{y,i} \quad (14)$$

where,

$$\alpha_1 = \frac{E[(x_B - x_A)^2]}{\sqrt{E[(x_{c,i} - x_{c,i-1})^2]}} \quad \alpha_2 = \frac{E[(x_A - x_B)^2]}{\sqrt{E[(x_{c,i} - x_{c,i-1})^2]}}$$

### 4. 解析結果および考察

#### 4.1 解析モデルの分類および検討項目

多層建物の場合には1層建物に比べて更に振れ振動の支配パラメータが増加してその組合せの数も膨大な量となるため、幾つかのパラメータについては固定して扱う事にする。\$X\$ 軸方向の偏心は無とした1軸偏心の4層モデルで \$X\$ 方向のみから外乱が作用するとし、建物の減衰定数は各次

で一律に2%, 外乱は white noise とする。はじめに, 各床面の重心位置が同一鉛直線上にある場合にフリの偏心層の数・位置・方向などの影響をフリで検討する。次いで, 特殊な建物の例としてセットバックの有る建物で各床面の重心位置が鉛直線上にない場合の解析を示す。以下の計算結果の図が原案は1層目の床面の重心位置を表し, 縦軸は建物の高さである。横軸は各層の剛心位置(工), 各床面の重心位置(・), 設計用せん断力の作用点(○: フラス倒りの変形, ×: マイナス倒りの変形)を各々各床面の回転半径で除した値である。図の左右の数値は付加偏心比  $1e'_{y,i}$ ,  $2e'_{y,i}$  の値である。

#### 4.2 重心が同一鉛直線上にあるモデルの解析

解析モデルはどれも各層の平面形が同才法の正方形であるとする。各層の総剛性・質量・回転半径および弾力半径比は全て等しくとする。弾力半径比の値は0.5, 1.0, 2.0の3種にフリで検討した。

まず, 偏心のある層にフリではその偏心比も0.2, 或は-0.2とした。

Fig. 4 は偏心のある層が1層のみある場合には, その層の位置・建物全体の振れ振動性状との関係を示した図である。

Fig. 5 は偏心のある層が最下層より順次増加して行く事による建物全体の振れ振動性状の変化を検討した図である。

Fig. 6 では偏心のある層が2層である場合に両層ごとの偏心比の絶対量が等しく符号が逆である事の影響を調べた。

Fig. 4~6を通じて重要と思われる点を列記すると以下の通りである。

- 1)  $j'_x < 1.0$  の場合の振動性状は非常に複雑であり, 単純な静的計算によらず振れ振動時の応力分布を予測する事は難しい。これに対し,  $j'_x$  が2.0に近い場合は各々の計算で一定の傾向が認められ, 静的計算法も可能となり得る事か

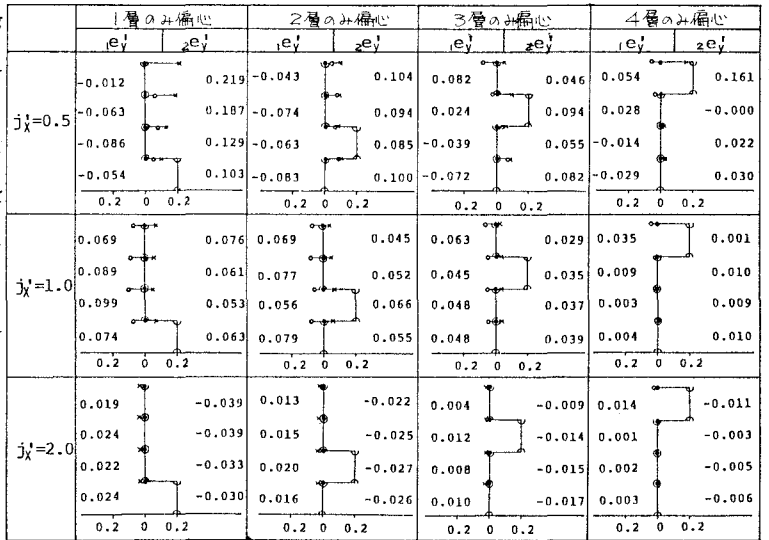


Fig. 4 任意の1層のみに偏心がある建物の振れ振動性状

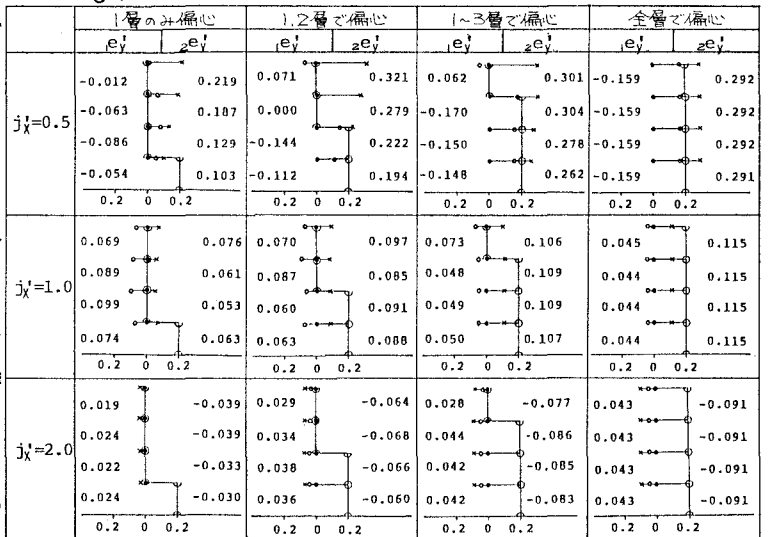


Fig. 5 下層より順に偏心層が増加する建物の振れ振動性状

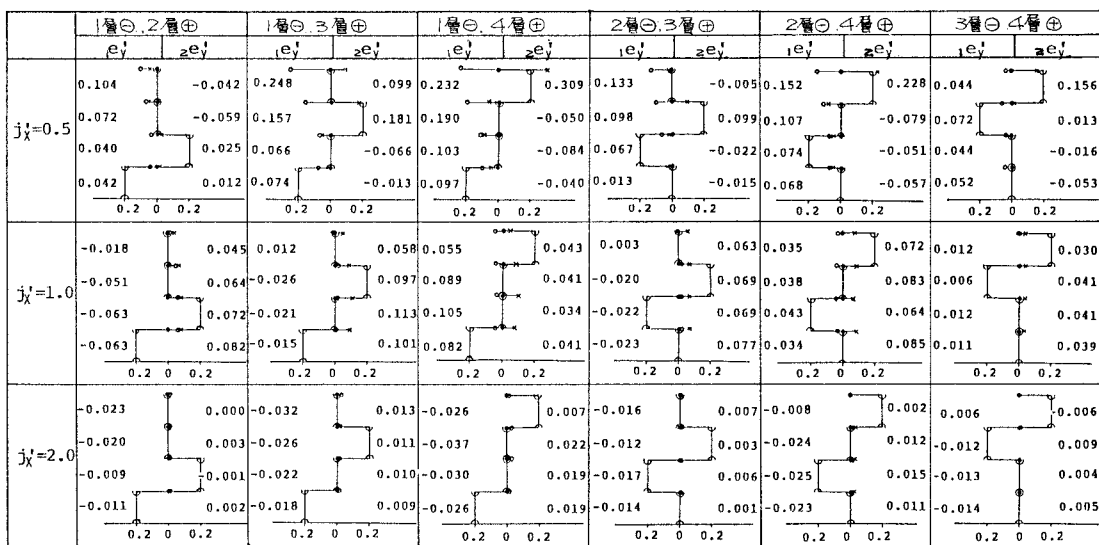


Fig. 6 互に符号の異なる2つの偏心層がある建物の振れ振動性状

- 2) 偏心の無い月も上または下の偏心月の振れの影響によって振れ。他月に偏心が有る事による無偏心月の応力の増加は  $j\lambda = 0.5 \sim 1.0$  では3割~4割,  $j\lambda > 1.5$  では1割位となる可能性がある。RC規準などでは, 下月に偏心が有る時に上月への影響が考慮されないので注意を要する事がある。
- 3) 下の偏心月程, 建物全体の振れ振動性状に対する影響が大き。
- 4)  $j\lambda \geq 1.0$  の範囲では, 偏心の有無によらず何れの月にしても各床の平面寸法の5%~10%の付加偏心を考慮する事が必要所には十分安全になり得る。
- 5)  $j\lambda$  の値が比較的大きな場合 ( $j\lambda > 1.5$  位) に, 偏心の符号の異なる層が併存すると, 互に他月に對する付加偏心の影響を打ち消し合ふ作用がある。

#### 4.2 重心が同一鉛直線上に在りモデルの解析(セットバックの有る建物に於て)

基本モデルを4x4スパンの正方形平面を有する4層フレームとし, 各月から任意にスパンを削り, 在時の建物の振動性状の変化について調べる。解析モデルは Fig. 7 に示す4種の1層フレームを重ねて得られる。これら4種のフレームは何れも剛床で, 壁は無く, 柱は等間隔に配置して1本ごとの剛性はX・Y方向とも全等とす。Fig. 8 の No. 1 が基本モデルで, 以下 No. 2~No. 15 の14種の

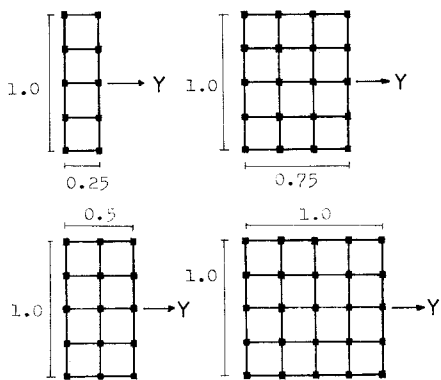


Fig. 7 セットバックの分類

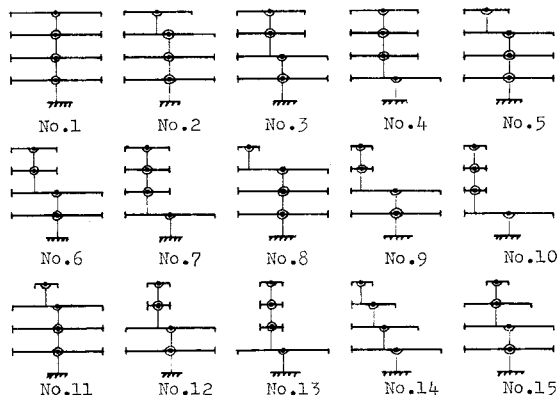


Fig. 8 セットバックのある建物の解析モデル

形態のセットバックの有る建物の解析をした。同図の黒丸とⅠの記号はそれぞれ鉛直管系モデルに置換した際の重心、剛心の位置を表す。Y方向にのみ偏心が存在し、X方向より *white noise* が作用した場合の解析例を Fig. 9 に示す。但し、1 層の  $\beta'$  が 2.0 の場合と限定した。表示方法は各々の図々同じである。

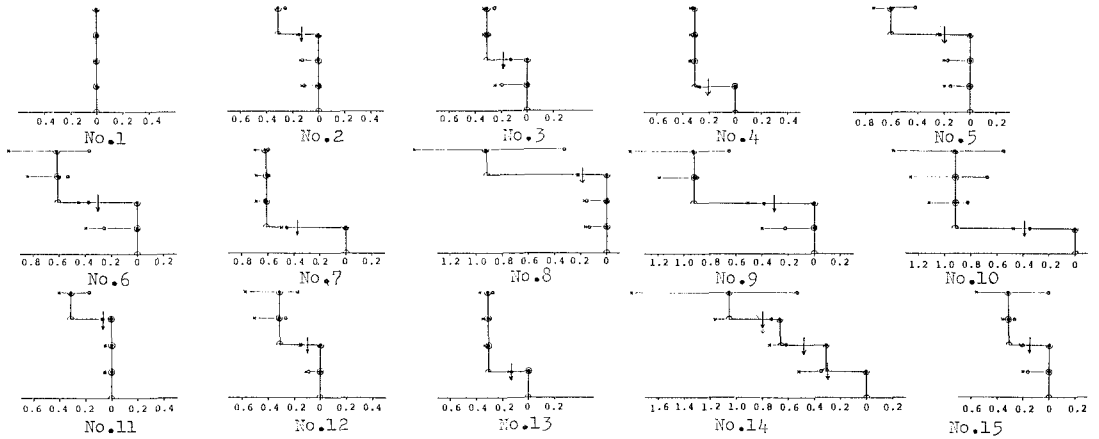


Fig. 9 セットバックのある建物の振れ振動性状

Fig. 9 によれば、セットバックの形態によつて建物全体の振れ振動性状が複雑に変化する事が分かる。セットバックした部分にフツツは、セットバック層の大きい程、また、上層程振れの影響が顕著である。一層、セットバックの下部分にフツツは、上のセットバック層の数の多い程振れの影響が大きくなる。セットバック部は No. 8, No. 14 等の最上層に付加的な偏心量が大きくなったが、Y 軸上の外端の応力は無偏心と見なす場合に比べて 2 割位増加する。また、セットバック層の下では No. 6, 7, No. 9-10 で振れの影響が大きく、この場合の応力の増加は 1 割程である。なお、図中の下向きの矢印は各層の軸心中心が重心と一致しない場合についてその位置を表したものであるが、X 印は何れもこの矢印より右左側にあるため、セットバックのある建物にフツツも RC 梁端に示されるところに存在する方では振れの評価が不足しかつて居る恐れがある。

### 5. 振れる建物の耐力設計法について

弾性解析では、付加偏心距離を考慮して剛性の低いフレームの応力を割り増すことが有効であるという結論であったが、耐震設計法が耐力設計法を目指している事もあり、この様にして許容応力度設計した建物の終局安全性について、特に平面的及び立面的な耐力分布の状態と構造の特定部分への損傷集中との関係について十分に検討を加える必要がある。以下にこの問題に対する一つの考え方を示す。

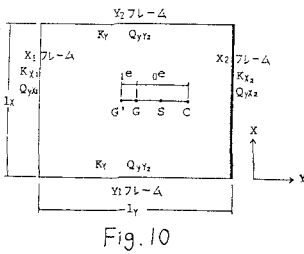


Fig. 10

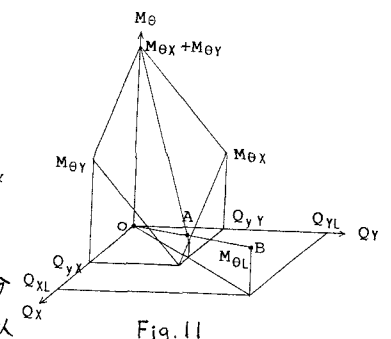


Fig. 11

この方法は、構造物のせん断耐力と振れ耐力の相関性を適切に評価することにより耐力の分布にあ

る幅をもたせた上で構造物を十分耐震的に設計できようという考え方に基いている。Fig. 10のような矩形平面をもちX, Y各方向2つのフレームによって構成された構造物に対して、Fig. 11のような3次元の降伏曲面を考える。図中の記号はTab. 2の通りである。この図において、弾性応答ベクトルOAに対する降伏曲面までのベクトルOBの比(OA/OB)を捩れ耐力率( $\bar{D}_s$ )と定義する。この様な定義のもとでは、剛性の高いフレームのせん断耐力を上げても $\bar{D}_s$ は余り変化しないが、剛性の低いフレーム、または直交フレームのせん断耐力を上げると $\bar{D}_s$ を上げることになり捩れ応答を抑えるのに有効であると考えられる。この定義を多層捩れ構造物に拡張すれば、相対的に $\bar{D}_s$ の低い層に損傷が集中すると予想される。

$K_x, K_y$	X, Y各方向のiフレームの剛性
$Q_{yx}, Q_{xy}$	せん断耐力
$Q_{xt}, Q_{yt}$	弾性最大せん断力
$M_{ex}, M_{ey}$	捩れ耐力
$M_{ei}$	耐力中心回りの弾性最大ねじれモーメント
$e$	偏心距離
$e$	付加偏心距離
$\ell_x, \ell_y$	X, Y各方向の外寸法
$D_s$	捩れ耐力率
G	重心
C	剛心
S	耐力中心
G'	せん断力の作用点
$M_{ex} = \min(Q_{yx}) \cdot \ell_y, M_{ey} = \min(Q_{xy}) \cdot \ell_x$	

### 6. まとめ

以上の解析の中で重要と思われる事を箇条書きにすると以下の通りになる。

- 1) 多層建物においては、偏心の無い層においても上または下の偏心層の捩れの影響を受ける。偏心層が下の場合、特に下層の偏心がセットバックに起因する場合にその影響は大きい。
- 2) 重心が同一線上にある場合の各層と、セットバックの下の部分について、 $\beta' > 1$ の範囲では偏心の有無によらず付加偏心として建物の寸法の5%~10%の長さを考慮すれば十分と考えられる。
- 3) セットバックした部分の捩れはセットバックの量に左右され非常に大きくなる可能性があり、更に検討を要する。
- 4) 静的計算による許容応力度設計では $\beta' < 1.0$ の範囲を除外するのが適当であり、 $\beta' < 1.0$ については動的計算を課するのが好ましいと考えられる。但し、5節で考え方の1例を示した耐力設計法の検討を進めた結果として $\beta' < 1.0$ も静的耐震設計法に含む事も可能であろう。

### 参考文献

- 1) 尾崎昌凡, 曾田五月也, 他, 「偏心により捩れる建物の耐震設計法に関する研究(その1)」  
第30回構造工学シンポジウム, 1984
- 2) 「鉄筋コンクリート構造計算規準・同解説」, 日本建築学会, 1983
- 3) 「改正建築基準法施行令新耐震基準に基づく構造計算指針・同解説」, 日本建築センター, 1981

A METHOD OF STATIC SEISMIC DESIGN OF TORSIONALLY COUPLED STRUCTURE  
(PART II Study on the Torsional Behaviours of Multi-Story Structures)

by Masakazu OZAKI\*, Satuya SODA\*\*,  
Seiichiro YASUDA\*\*\*, Masaru ISHII\*\*\*  
and Tomoaki NAMIKAWA\*\*\*

ABSTRACT

OBJECTIVES

The objectives of this study are to investigate the torsionally coupled vibration of multi-story structures and to propose a simple and practical method of static seismic design. Planar and vertical stiffness distributions are taken to be the basic controlling parameters.

ANALYTICAL METHOD

The linear system studied is an idealized multi-story model consisting of rigid slabs and massless shear springs. Masses are lumped at the center of each slab. With respect to the center of mass of each story, three degrees of freedom, i.e., horizontal displacements in the two perpendicular directions and the rotation about the vertical axis, are considered. In order to save the computing efforts and to get a stable numerical result, by applying probabilistic theory of structural dynamics and modal analysis technique which considers the modal interaction effect, stationary response to the stationary white noise is calculated theoretically. Defining a dynamic additional eccentricity (DAE) as in the case of one-story structures in PART I, effect of a vertical distribution of stories with eccentricities will be investigated.

CONCLUSIONS

- 1) A story with no eccentricity may be subjected to quite a large influence of the torsion of upper or lower stories with eccentricities. In this, lower story with eccentricity has greater influence on the torsion of other stories.
- 2) As well as in one-story structures, stresses in each part of the torsionally coupled multi-story structure might be evaluated safe, if there is no setbacks and if the magnitude of the static design force is taken equal to that of the corresponding uncoupled structure, and magnitude of DAE, equal to the 5%-10% of the planar dimension of each story.
- 3) If there is some setbacks in the structure, setbacked portions might be subjected to stronger torsion than that in the case of the usual torsionally coupled structures.
- 4) The case that  $j'$  is less than 1.0 should be excluded in the allowable stress design method based on the static calculation. In the case that  $j'$  is less than 1.0, ultimate strength design method or allowable stress design method based on the dynamic calculation is desirable.

---

\* Professor of Chiba University, Dr. Eng.

\*\* Research assistant of Chiba University, Dr. Eng.

\*\*\* Graduate student of Chiba University